

$$K_{2,i}^{(n)} - \varepsilon K_{2,i}^{(n)} = K^0 (K_i^{(n)} - \varepsilon K_i^{(n)}), \quad K^0 = \max(1, E_r/E_s). \quad /7/$$

Можна припустити, що результати /5/ - /7/ більш точно описуть граничне значення КІН біля тріщини у зварному шві, якщо під K_1 , K_2 розуміти значення КІН біля тріщини у циліндричній трубі [2].

Отримані результати безпосередньо застосовуються для оцінки міцності шаруватих композитів.

Список літератури: І. Васильченко Г.С., Кошелев П.Ф. Практическое применение механики разрушения для оценки прочности конструкций. - М.: Наука, 1974. 2. Панасюк В.В., Саврук М.П., Дацьшин А.П. Распределение напряжений около трещин в пластинах и оболочках. - Киев: Наукова думка, 1976. З. Сулим Г.Т., Грилицкий Д.В. Интегральные уравнения задачи о напряженном состоянии кусочно-однородной плоскости с трещинами. - ФХМ, 1975, т.II, № 5. 4. Сулим Г.Т., Грилицкий Д.В. Решение сингулярных интегральных уравнений плоской задачи об упругом равновесии составных тел с трещинами. - ФХМ, 1976, т.II, № 2.

Стаття надійшла в редакцію 10.03.1980 р.

УДК 536.24

Й.З.Піскозуб, Г.Т.Сулим

ВПЛИВ ЛІНІЙНОГО ВКЛЮЧЕННЯ НА ТЕМПЕРАТУРНЕ ПОЛЕ

ВІД ДИПОЛЯ ТЕПЛА

Розглядаємо плоску стаціонарну задачу теплопровідності без врахування тепловіддачі через бічні поверхні для складеного тіла з тонкостінними прошарками-включениями на межі розділу компонентів. На осі абсцис $L = L' \cup L''$ декартової системи координат $X \circ Y$ розташована система N симетричних включень малої товщини $2h(x)$, так що $L' = \bigcup_{n=1}^N L_n$, де $L_n = [a_n^-, a_n^+]$ і на торцях включень $\lambda(a_n^\pm) = 0$. Вздовж верхньої L'_1 та нижньої L'_2 границь включень застосовується

Ідеальний тепловий контакт з півплощинами S_1 , S_2 , що мають різні теплофізичні властивості та на L' контактують безпосередньо. Задані теплові диполі /дублети [I]/ інтенсивності $q_{0\kappa}$ з орієнтацією α_κ у точках $Z_\kappa = x_\kappa + iy_\kappa$ областей S_κ ($\kappa = 1, 2$) та інтенсивності q_{0o} з орієнтацією α_o у точці $Z_o = x_o$ на осі деякого включення. Коефіцієнти теплопровідності включень, нижньої та верхньої півплощин дорівнюють відповідно λ_o , λ_1 , λ_2 . Необхідно визначити розподіл температури в матриці.

Аналогічна задача при дії потоку тепла та джерел тепла розглянута у працях [4, 5].

Шукане температурне поле $t(z)$ зобразимо [4, 5] у вигляді суперпозиції $t(z) = t_1(z) + t_2(z)$ основного температурного поля $t_1(z)$, яке відповідає задачі для контакуючих півплощин при відсутності включень

$$t_1(z) = -m_\kappa \operatorname{Re} \left[\frac{e^{i\alpha_\kappa}}{z - Z_\kappa} \right] - (n_\kappa - n_i) m_\kappa \operatorname{Re} \left[\frac{e^{i\alpha_\kappa}}{z - Z_\kappa} \right] - 2n_i m_i \operatorname{Re} \left[\frac{e^{i\alpha_i}}{z - Z_i} \right] + t^o, \quad /I/$$

$$(z \in S_\kappa; \kappa, i = 1, 2; \kappa \neq i),$$

де $m_j = \frac{q_{0j}}{2\pi\lambda_j}$; $n_j = \frac{\lambda_j}{\lambda_1 + \lambda_2}$; t^o – постійна, та збуреного температурного поля $t_2(z)$, викликаного наявністю включень. Для визначення скачка $\gamma_2(x)$ поля $t_2(z)$ на включеннях одержане сингулярне інтегро-диференціальне рівняння типу Прандтля

$$\frac{1}{\pi} \int_{L'} \frac{t_2'(t)}{t - x} dt - \alpha(x) \gamma_2(x) = F(x), \quad \delta_n(x_n^+) = 0 \quad /2/$$

$$(x \in L', n = 1, N),$$

де

$$F(x) = (1 - \alpha) g(x) - \frac{\lambda_1 - \lambda_2}{\lambda_2 + \lambda_1} S(x); \quad \alpha(x) = \frac{2x}{h(x)}, \quad x = \frac{x_o}{2n_i \lambda_i};$$

$$g(x) = 2 \sum_{\kappa=1}^2 m_\kappa \operatorname{Im} \left[\frac{e^{i\alpha_\kappa}}{(x - Z_\kappa)^2} \right]; \quad S(x) = \frac{4\lambda_o m_o h(x)(x - x_o) \cos \alpha_o}{[(x - x_o)^2 + h'(x)]^2}.$$

Якщо скачок $\gamma_2(x)$ відомий, то поле $t_2(z)$ визначається формулами /10/ [5] чи /3/ [4]. З рівняння /2/ випливають аналітичні розв'язки у часткових випадках теплоізользованих / $\lambda_o = 0$ / і теплопровідних / $\lambda_o = \infty$ / включень [4, 5].

Для прикладу розглядаємо одне включення, розташоване вздовж відрізка $L' = [-a, a]$, коли $h(x) = h_0 [1 - (\frac{x}{\alpha})^2]^{q/2}$, ($q \geq 1$). Скористаємося розкладом [4, 5]

$$T'_2(x) = \frac{a}{\sqrt{\alpha^2 - x^2}} \sum_{p=1}^{\infty} A_p T_p(\frac{x}{\alpha}), T_2(x) = -\sqrt{\alpha^2 - x^2} \sum_{p=1}^{\infty} \frac{A_p}{p} U_{p-1}(\frac{x}{\alpha}), \quad /3/$$

коєфіцієнти якого визначають із системи лінійних алгебраїчних рівнянь

$$\frac{\pi}{2} A_{K+1} + d_0 \sum_{p=1}^{\infty} A_p H_{pk}^q = F_k \quad (k = 0, 1, \dots), \quad /4/$$

де

$$H_{pk}^q = \frac{\pi \Gamma(2q)}{p 4^q} \sum_{l=1}^p \frac{(-1)^{l+1} \sin(p_l \pi)}{\Gamma(1+q+p_l) \Gamma(q-p_l)}; \quad F_k = \int_{-1}^1 F(at) \sqrt{1-t^2} U_{k-1}(t) dt;$$

$$d_0 = \frac{2e\alpha}{h_0}; \quad q = 1 - \frac{1}{2q}; \quad 2p_l = k - (-1)^l p \quad (l = 1, 2).$$

Введемо коефіцієнт інтенсивності потоку тепла /КПТ/ - аналог коефіцієнта інтенсивності напружень у задачах антиплоскої деформації [2]. Якщо для розглядуваного включения застосувати "принцип мікроскопа" [6], тобто ввести полярну систему координат (t, θ) у кінцях включения $\pm(z \pm \alpha) = \pm e^{i\theta}$ і скористатись асимптотичним виразом /22.5/ [3]

$$\frac{i}{\pi} \int_{-\alpha}^{\alpha} \frac{T'_2(t)}{t-z} dt = \frac{1}{z} T'_2(x) \sqrt{\alpha^2 - x^2} \Big|_{x=\pm\alpha} / \sqrt{2\alpha z e^{i\theta}} + O(1), \quad /5/$$

то з закону Фур'є можна одержати в околі кінців включения наступну асимптотичну поведінку складових q_s теплового потоку в напрямі i температури:

$$\{q_x, q_y, q_z\} = \frac{K_q}{\sqrt{2z}} \left\{ \sin \frac{\theta}{2}, -\cos \frac{\theta}{2}, -\sin \frac{\theta}{2} \right\} + O(1),$$

$$t = \frac{\sqrt{2z}}{\lambda_K} K_q \sin \frac{\theta}{2} + O(e^{i\theta}), \quad /6/$$

де $K_q = \pm W^\pm / \sqrt{2}$, $W^\pm = \lim_{x \rightarrow \pm\alpha} \sqrt{1+\alpha-x} \lambda_K T'_2(x) \quad (K=1,2)$.

Зазначимо, що верхні знаки позначають КПТ в околі правого кінця відхилення, а нижні - лівого. Значення індекса κ відповідає піввимірні, в якій визначається КПТ.

Використовуючи /3/, маємо

$$K_q = \pm \frac{\sqrt{a}}{2} \lambda_\kappa \sum_{p=1}^{\infty} (-1)^p A_p \quad (\kappa=1,2). \quad /7/$$

Числовий розв'язок системи рівнянь /4/ проведено на ЕОМ ЕС-1022 для однорідної площини / $\lambda_1 = \lambda_2$ / при різних значеннях параметрів q , $\lambda = \lambda_0/\lambda_1$, $z_\kappa = x_\kappa + iy_\kappa$ ($\kappa=1,2$). Для дослідження 1%-ної точності при $|x| \leq 0,95\alpha$ у найнесприятливішому випадку прямокутного / $q = \infty$ / абсолютно теплопровідного / $\lambda = \infty$ / відхилення при $|y_\kappa| \geq 0,5\alpha$ досягне обмежитися першими 100 відмінними від нуля коефіцієнтами розкладу /3/. Відзначимо, що скачок $\gamma_2(x)$ та КПТ не зміниться, якщо диполь орієнтації ω_κ у точці z_κ замінити на диполь орієнтації $\omega_\kappa + \kappa$ у точці \bar{z}_κ .

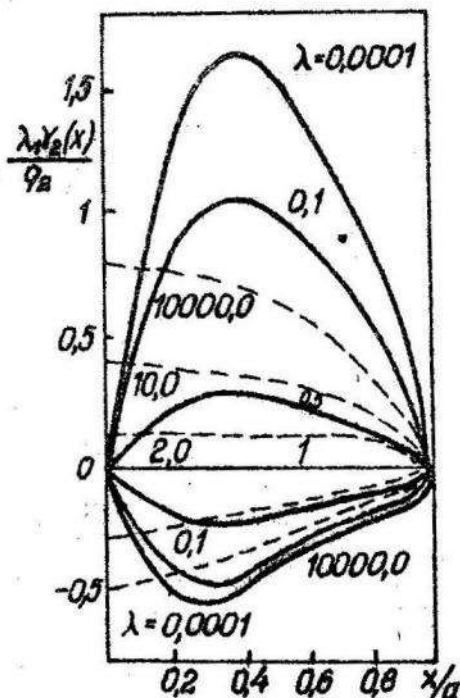


Рис. 1.

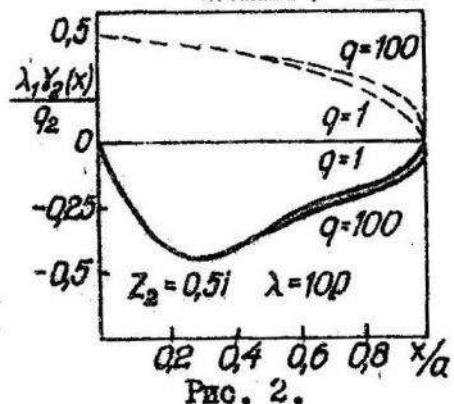


Рис. 2.

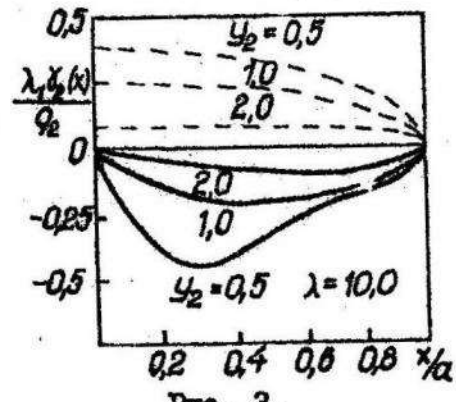


Рис. 3.

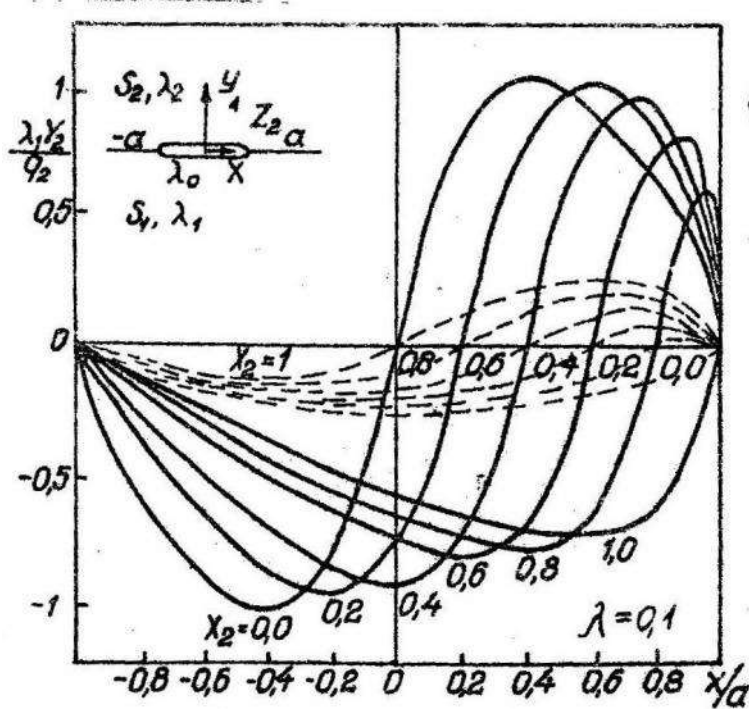


Рис. 4.

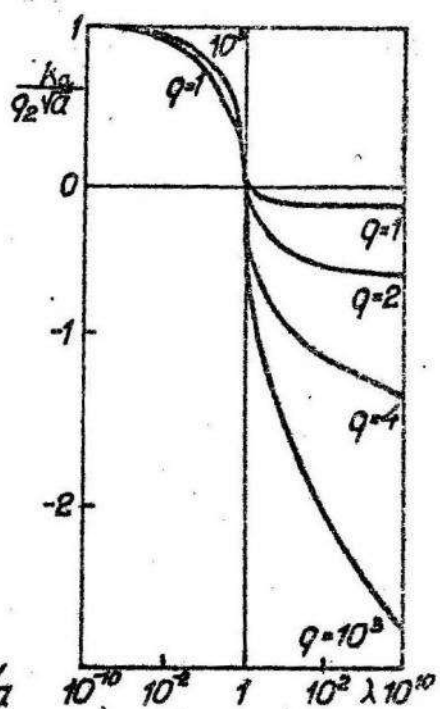


Рис. 5.

На рис. 1 зображена зміна скакка $\gamma_2(x)$ залежно від зміни параметра λ при $q=2$ і $z_K=i$. Рис. 2 ілюструє вплив форми виключення на $\gamma_2(x)$. Залежність $\gamma_2(x)$ від ординати розміщення диполю z_K показана на рис. 3, а від абсциси x_K – на рис. 4. Суцільними лініями на рисунках зображені результати отримані для диполя орієнтації $\omega_K=0$ / $\gamma_2^0(x)$ /, пунктирними – для орієнтації $\omega_K=\frac{\pi}{2}$ / $\gamma_2^{K/2}(x)$ /, де $\gamma_2^\alpha(x)$ – більш деталізоване означення скакка температури для диполя орієнтації α . Зрозуміло, що при довільній орієнтації

$$\gamma_2^\alpha(x) = \gamma_2^0(x) \cos \alpha + \gamma_2^{K/2}(x) \sin \alpha. \quad /3/$$

При віддаленні диполя від початку координат його вплив на скакок температури на виключенні зменшується набагато сильніше, ніж у випадку джерела [4]. На рис. 5 зображені залежності КЛТ від параметрів λ і q .

Список літератури: 1. Каролоу Г., Егер Д. Теплопроводность твердых тел. - М.: Наука, 1964. 2. Кіт Г.С. Про аналогію між поздовжнім зсувом і стаціонарною теплопровідністю тіл з включеннями та тріщинами. - ДАН УРСР, сер. А, 1977, № 4. 3. Мусхелішвили Н.И. Сингулярные интегральные уравнения. - М.: Физматгиз, 1962. 4. Піскозуб Й.З., Сулим Г.Т. Вплив лінійного включения на температурне поле від джерела тепла. - Вісн. Львів. ун-ту, сер. мех.-мат., 1979, вип. 16. 5. Сулим Г.Т. Влияние форми тонкого линейного включения на температурное поле в кусочно-однородной пластине. - ИФЖ, 1979, 37, № 6. 6. Черепанов Г.П. Механика хрупкого руйнування. - М.: Наука, 1974.

Стаття надійшла в редколегію II.03.1980 р.

УДК 622.831

Т.Л.Мартинович, М.І.Задворнях

ДОСЛІДЖЕННЯ НАПРУЖЕНЬ В АНІЗОТРОПНОМУ МАСИВІ З ВИРОБКОЮ

За допомогою методів лінійної теорії пружності розглядаємо другу основну задачу для вагомого анізотропного масиву з горизонтальною циліндричною виробкою, проведеною на глибині H від денної поверхні L_0 . Нормальний переріз виробки обмежений простим замкнутим контуром L , який описується рівнянням

$$x + iy = R(e^{i\theta} + \sum_{k=1}^N C_k e^{-ik\theta}), \quad \sum_{k=1}^N |C_k|^2 < 1.$$

Віднесемо гірський масив до декартової системи координат xuz /рис. I/. У кожній точці анізотропного масиву є площа пружної симетрії паралельна координатній площині xu , яка суміщена з нормальним перерізом горизонтальної виробки.

Напруження у нерозробленому масиві обчислюють за формулами

$$\sigma_x^0 = \lambda f(y-H), \quad \sigma_y^0 = f(y-H), \quad \tau_{xy}^0 = 0, \quad /I/$$